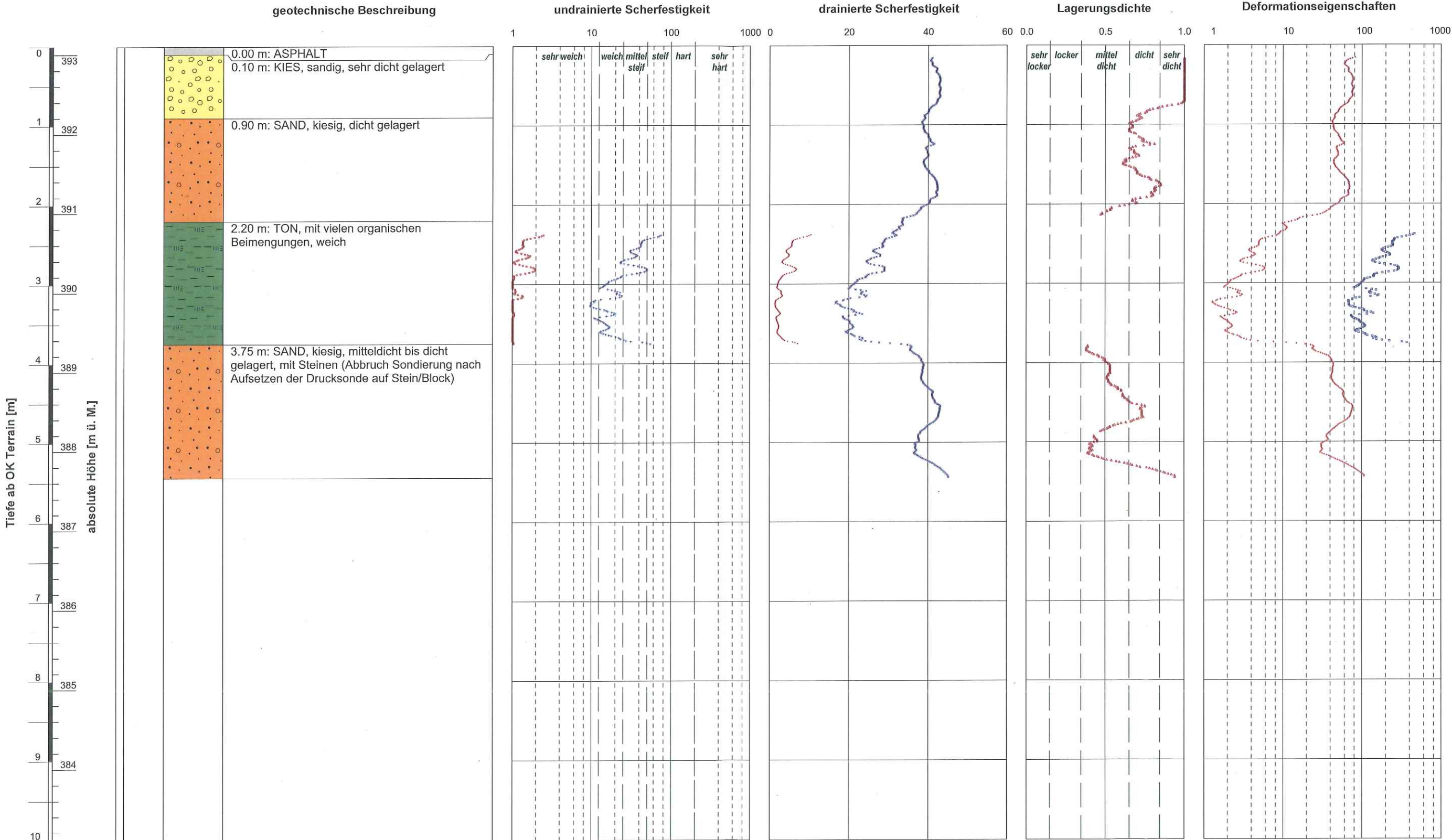


- + undrainierte Scherfestigkeit s_u [kN/m²] × effektiver innerer Reibungswinkel ϕ [°] △ bezogene Lagerungsdichte I_D [-] □ Vorkonsolidierungsdruck σ_p [kN/m²] + oedometrischer Steifemodul bei Erstbelastung E_{oed} (früher: $M_{E,1}$ bzw. E_s) [MN/m²]
- Sensitivität S_t [-] · effektive Kohäsion c' [kN/m²] +



ELEKTRISCHE DRUCKSONDIERUNG
Interpretierte geotechnische Erwartungswerte
Neubau Rechengebäude, ARA Frauenfeld, Haubitzenstrasse, 8500 Frauenfeld

- +

undrainierte Scherfestigkeit s_u [kN/m²]

○

Sensitivität S_t [-]
- ×

effektiver innerer Reibungswinkel ϕ [°]
- effektive Kohäsion c' [kN/m²]

△

bezogene Lagerungsdichte I_D [-]

□

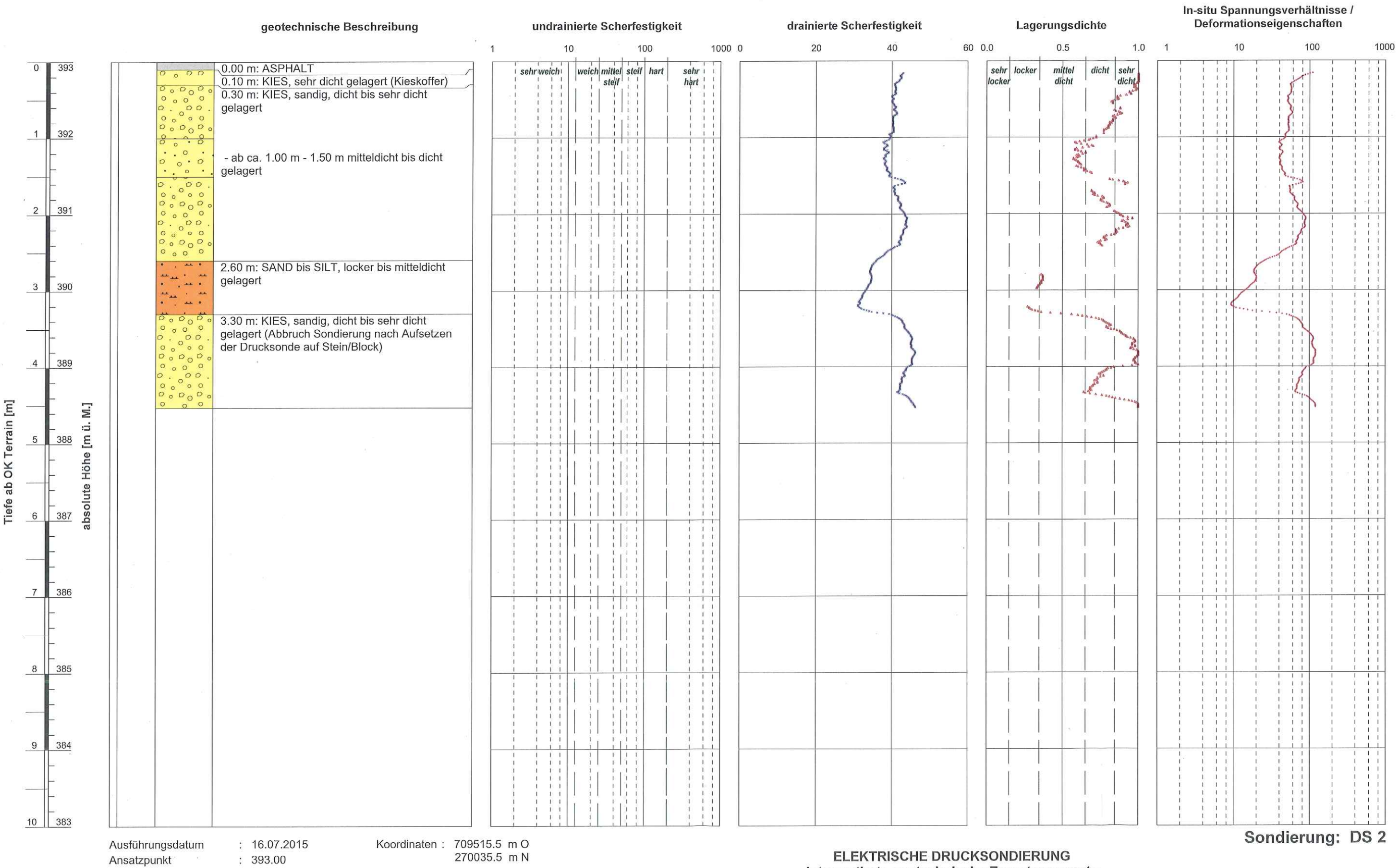
Vorkonsolidierungsdruck σ_p [kN/m²]

+

oedometrischer Steifemodul bei Erstbelastung E_{oed} (früher: $M_{E,1}$ bzw. E_s) [MN/m²]

gezeichnet: bshs Datum: 16.07.2015 kontrolliert: cfa

GeODin-System / CPT Interp A3 CH 1_50_v7 (10m) GLO / 29.07.2013/11:46:28



ELEKTRISCHE DRUCKSONDIERUNG
Interpretierte geotechnische Erwartungswerte
Neubau Rechengebäude, ARA Frauenfeld, Haubitzenstrasse, 8500 Frauenfeld

Sondierung: DS 2

- +

undrainierte Scherfestigkeit s_u [kN/m²]

o

Sensitivität S_t [-]
- ×

effektiver innerer Reibungswinkel ϕ [°]

·

effektive Kohäsion c' [kN/m²]
- △

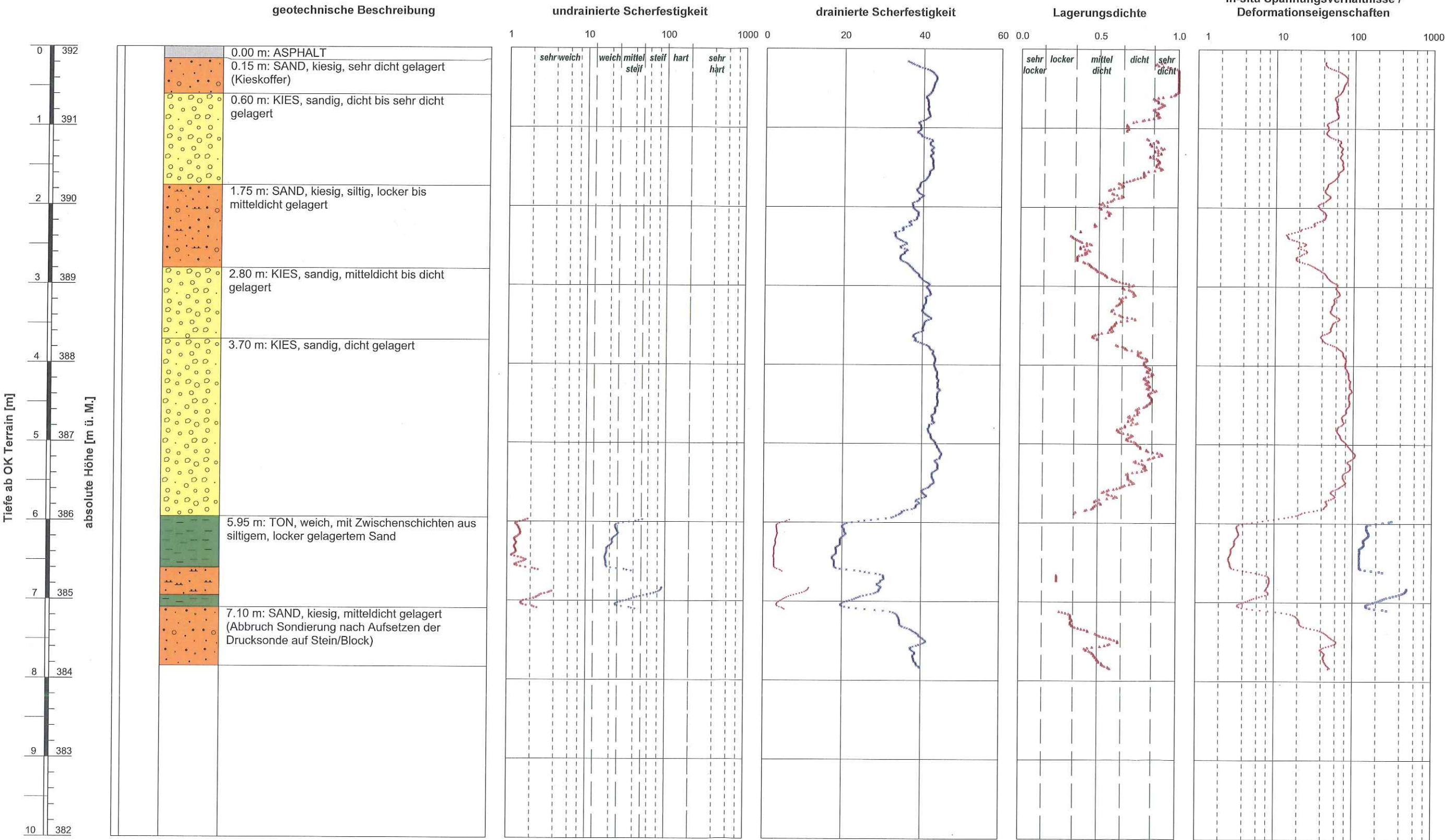
bezogene Lagerungsdichte I_D [-]
- Vorkonsolidierungsdruck σ'_p [kN/m²]

+

oedometrischer Steifemodul bei Erstbelastung E_{oed} (früher: $M_{E,1}$ bzw. E_s) [MN/m²]

gezeichnet: bshs Datum: 16.07.2015 kontrolliert: dfa

GeODin-System / CPT Interp A3 CH 1_50_v7 (10m) GLO / 29.07.2015/11:47:12



- + undrainierte Scherfestigkeit s_u [kN/m²]
 ○ Sensitivität S_t [-]
 × effektiver innerer Reibungswinkel ϕ [°]
 • effektive Kohäsion c' [kN/m²]
 △ bezogene Lagerungsdichte I_p [-]
 □ Vorkonsolidierungsdruck σ'_p [kN/m²]
 + oedometrischer Steifemodul bei Erstbelastung E_{oed} (früher: $M_{E,1}$ bzw. E_s) [MN/m²]

